文章编号:1000-2278(2011)02-0249-07

粉煤灰资源化合成莫来石材料及其性能研究

谭 丽 董应超 孙 丽

(景德镇陶瓷学院,江西景德镇333001)

摘要

以天然铝矾土和工业废物粉煤灰为原料,运用反应烧结合成了低成本的莫来石陶瓷材料。结果证明,刚玉与方石英相在 $1200\sim1300^{\circ}$ 们通过固态反应生成二次莫来石 在温度高于 1300° 它时,刚玉相熔于短暂玻璃相中。二次莫来石化及莫来石晶体生长所导致的样品体膨胀大于液相烧结所引起的收缩,导致样品出现膨胀现象。 1600° C. 烧结样品的平均热膨胀系数为 $5.40\times10^{\circ}$ C. 平均抗弯强度 186.19 MPa。莫来石在强酸强碱热溶液中表现出两个阶段 '快速阶段($0\sim5$ h)和低速阶段($5\sim20$ h),这分别对应于样品的表面腐蚀和体腐蚀过程。

关键词 粉煤 铝矾土 莫来石 烧结 腐蚀中图分类号 :TQ 174.75 文献标识码 A

0 前言

作为广泛应用的传统陶瓷材料 莫来石具有优越的性能,如高的熔点(1830℃)、中等的热膨胀系数(4.5×10°K⁻¹)、较好的抗热震性能、良好的化学稳定性、低的热导率(0.06W·cm⁻¹·K⁻¹)、低的介电常数(ε ≈ 7)、极好的抗蠕变性能和足够的机械强度□□。自天然莫来石矿物被发现以来,人们做了许多研究工作来制备合成莫来石。对于传统的合成方法,即高纯氧化铝与氧化硅(石英)通过固态反应生成莫来石。高的莫来石化温度(≥ 1600℃)使得其合成成本居高不下。最近几年,人们频繁报道了其它合成技术,统称为软化学路线,如溶胶一凝胶(sol-gel)等□²-5□。但是,这些制备方法存在诸多缺点,包括昂贵的原材料、低的产率和复杂的制备步骤,不适合大规模工业化生产。

合成莫来石的原材料是含铝硅酸盐,主要有高岭土^[6,7]、硅线石^[8]、红柱石^[9]、蓝宝石^[10]和天然黄玉矿物^[11]等。依据 Al₂O₃- SiO₂ 二元相图 ,为了增加莫来石相的含量 ,同时消除杂质相如玻璃相或方石英等其它不利物质 ,人们往往添加其它原料。粉煤灰是热电厂原煤燃烧发电后的副产品,有效利用工业废物合成陶瓷产品不仅降低了环境污染 ,而且能够获得高附加值的低

成本陶瓷。最近几年来,依据粉煤灰富含铝硅酸盐和组成的多样性科技界做了大量的研究工作来合成各种陶瓷材料,包括堇青石[12,13]和其他可控晶相的玻璃陶瓷[14,15]。但是对于合成莫来石的研究却少有文献报道。Huang [16]等人首次报道了以工业氧化铝和粉煤灰为原料制备莫来石质瓷的研究工作。最近,Jung [17]及其合作者成功合成了3YSZ搀杂的莫来石基陶瓷,所用原料为亚微米工业氧化铝、粉煤灰和少量的3YSZ。

为了进一步降低制备成本,也基于减少粉煤灰污染和氧化铝生产排污等环境问题的考虑,我们以廉价易得、矿藏丰富的富铝矿物-天然铝矾土作为氧化铝源,来代替工业氧化铝,进行莫来石陶瓷的合成研究。首先,研究了铝矾土、粉煤灰和基于3:2莫来石的混合物在不同热处理温度下的相组成和烧结特性。最后,对烧结体的主要性质,如相对致密度、热及机械性能、酸碱腐蚀性能,也做了表征。

1 实验部分

1.1 实验步骤

工业废物粉煤灰取自合肥第二热电厂(中国安徽省),平均粒径为 11.01 m。天然铝矾土产地为山西阳泉,所用粉体的平均粒径为 5.86 μm。按照 3:2 莫

(C) 1994-2021 China Academic Journal Electronic Publishing House. All rights reserved. http://www.cnki.net 收稿日期 2011-03-22

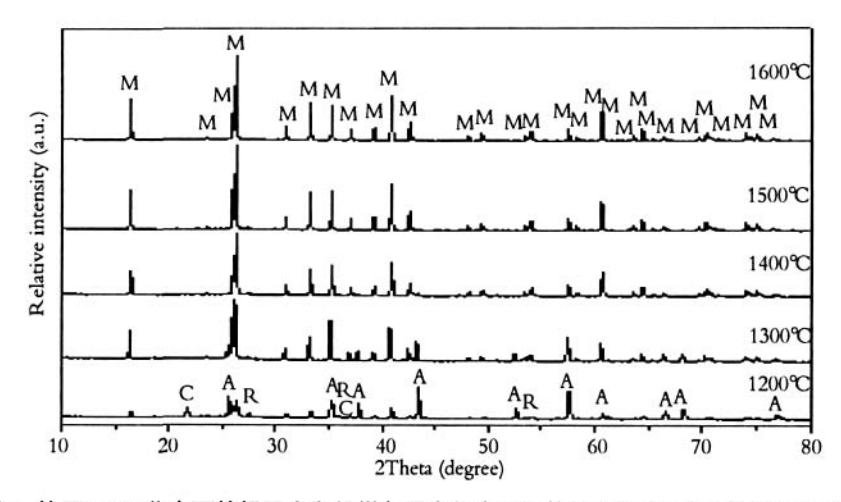


图 1 基于 3:2 莫来石的铝矾土和粉煤灰混合物在不同热处理温度下(4h)的 XRD 图谱

Fig.1 XRD patterns of the fly ash/bauxite samples based on 3:2 mullite sintered at different temperatures

来石的氧化铝、氧化硅的比例 根据粉煤灰和天然铝 矾土的 XRF 成分分析结果,按比例称取一定量的粉 煤灰和天然铝矾土(W 粉煤灰:W 铝矾土 = 45.87:100, 质量比)。以氧化锆球、蒸馏水为介质 湿法球磨 12h 后 浆料在 110℃充分干燥 研磨后备用。研磨后混合 物粉体的 d_{50} 和平均粒径分别为 2.61 μ m 和 3.37 μ m, 大部分粒子集中在 $1.30\sim6.53\mu$ m 之间。将球磨后的 基于 3:2 莫来石的混合物粉体在研钵里研磨均匀 后,添加适量黏结剂 5.07wt.%PVA-1750 溶液,混合 均匀后在单轴油压机上成型(压力 200MPa) 制备出 两种规格的样品:条状样品(50mm×4mm×4mm)和 片状样品(直径 15 mm 厚度 $2 \sim 3 \text{mm}$)。样品干燥后, 在不同热处理温度下烧结 4h,烧结温度的范围为 1000~1600℃ 间隔为 50℃ 升温速率为 室温到 450 ℃ 是 1°C/min ;450°C到 600°C为 2°C/min ;600°C到最终 温度为 3℃/min, 最终温度保温 4h 后自然冷却到室 温。为了去除有机物质和铝矾土中的结构水,在 450℃和 600℃分别保温 0.5h。

为了研究热处理过程中的相转变机理 在相同的 成型和热处理条件下分别制备了粉煤灰和天然铝矾 土的片状煅烧样品。

12 样品表征

在激光粒度分析仪(Rise-2006, 济南润之科技有限公司, 中国)上测定粉体粒子尺寸分布。用 X 射线衍射仪(Phlips- X'- PerPro SUPER, Philips Corporation,

天然铝矾土和二者混合物(基于 3:2 莫来石)在厚度方向的烧结收缩百分比和收缩速率 ,天然铝矾土和混合物样品所研究的温度范围为 $400\sim1600^{\circ}$ 粉煤灰的为 $400\sim1400^{\circ}$,升温速率为 10° /min ,所用参比样品为致密的片状氧化铝。

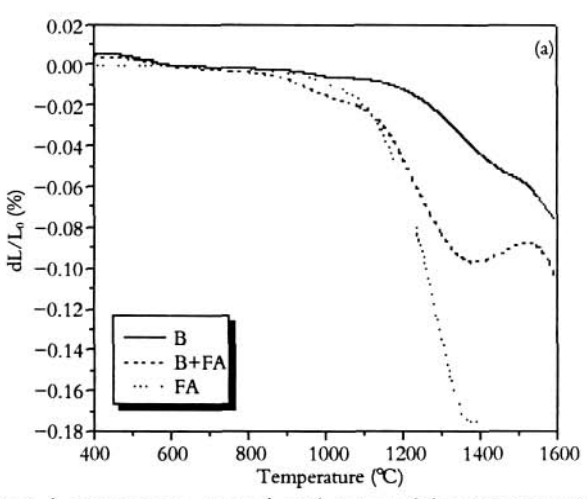
相对致密度用传统的阿基米德法测定 漠来石的 理论密度为 3.16g/cm³ , 室温蒸馏水的密度为 1.0g/cm³。 条状样品的抗弯强度在万能材料实验机(DCS-5000, Shimadzu Corporation, Japan) 上用三点抗弯的方法 测试(ISO9693 1999) ,跨距和加载速率分别为 30mm和 0.5mm/min。测试前 ,用金相砂纸(20 目和 800 目) 将条状烧结体抛光、倒角。平均抗弯强度取三个样品的平均值。

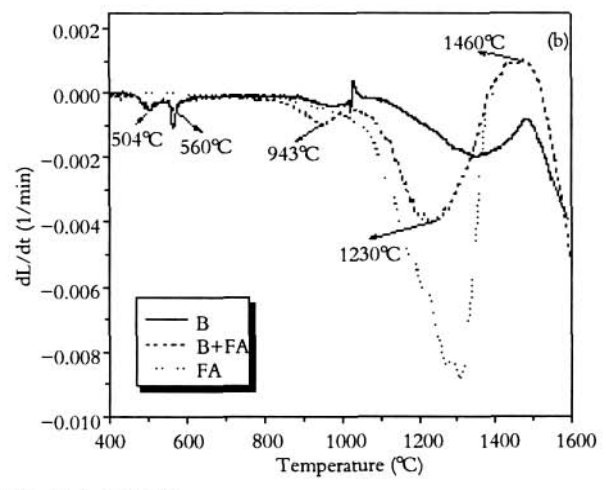
真空蒸金后,用扫描电镜(SEM ,KYKY1010B , China)观察烧结体的微结构。为了观察莫来石晶体,将断裂样品在 40wt.% 氢氟酸中腐蚀 10 分钟,清洗干燥后在扫描电镜下观察。腐蚀性能测试,采用 1600 °C烧结 4h 的莫来石片状样品进行腐蚀实验,所选样品无裂纹和表面孔等缺陷。将样品置于 20wt.% H_2SO_4 和不同浓度 NaOH 溶液(5,10wt.%)中,在回流装置中煮沸不同时间(溶液温度在 $100\sim107$ °C)后,测量单位面积的质量损失。

2 结果和讨论

Netherlands)表征原材料和烧结样品的相组成de在热ic Publish相转变机理All rights reserved. http://www.cnki.net 膨胀仪上(DIL 402C, Netzsch, Germany)测定粉煤灰、 图 1 是基于 3:2 莫来石的铝矾十和粉煤灰混合

《陶瓷学报》2011 年第 2 期 251





备注:B表示天然铝矾土;B+FA表示 基于3:2 莫来石的铝矾土和粉煤灰混合物;FA表示粉煤灰

图 2 样品线性收缩百分率 dL/dL₀(a) 和线性收缩速率 dL/dt (b)

Fig.2 Linear shrinkage percent dL/dLo (a) and linear shrinkage rate (b) of samples: B-natural bauxite; B+FA-the mixture of fly ash and bauxite based on 3:2 mullite; FA-fly ash

物在 1200~1600℃(保温 4h) 不同热处理温度后的 XRD 图谱。从 1200 ℃到 1300 ℃ 刚玉的衍射峰逐渐 减弱,而莫来石的衍射峰逐渐增强,而且,在1300℃, 方石英消失 这说明刚玉与方石英通过固态反应生成 二次莫来石。从 1300℃到 1400℃ 刷玉相由于溶解到 短暂玻璃相中而完全消失。1400℃以上,仅存在莫来 石的衍射峰。随着烧结温度的增加,由于莫来石晶体 结晶程度的增加,莫来石的衍射峰强度呈增加的趋 势,在高的温度下,更多的二次莫来石晶体从玻璃相 中沉淀析出。1100℃,方石英从铝矾土、粉煤灰两种材 料中的石英相转变而来。首先,铝矾土的水铝石相经 过相转变生成刚玉,刚玉与方石英在 1200~1300℃ 间生成二次莫来石。其次,由于刚玉相溶解于短暂玻 璃相中,进一步发展了二次莫来石化反应。通过比较 粉煤灰和铝矾土的化学组成,并结合 XRD 分析,可 以推断出 玻璃相主要来自粉煤灰中的无定形富含二 氧化硅的玻璃熔体物质。

22 烧结特性分析

图 2 是粉煤灰、铝矾土及其混合物(基于 3:2 莫 来石的组分)在烧结过程中的热膨胀曲线 即烧结收 缩曲线。可以看出 天然铝矾土的烧结活性最差 这主 要是因为它的高氧化铝含量(72.72wt.%)。相比之下, 粉煤灰样品表现为最大的烧结收缩百分率,说明它更 合物的烧结活性介于粉煤灰和铝矾土之间, 其烧结过

程按照热处理温度可以大致分为 5 个阶段:

第一阶段(450~580℃)。在铝矾土矿物中 相继 发生高岭石和水铝石相的脱水反应[18]。第二个阶段为 890~1100℃ 样品表现为低的致密化速率 ,主要由于 高活性的细粉煤灰粒子首先发生烧结。样品从 1100℃ 开始明显收缩 进入第三阶段 在 1380℃处结束并达 到最大值 样品的烧结收缩百分率为 10.19%。第四阶 段(1380~1520℃),致密化反而减少,也就是说样品 表现为加热膨胀行为。这是由于二次莫来石化及莫来 石晶体生长所导致的样品体膨胀大于烧结引起的收 缩。一般情况下,两个因素能够影响混合物样品的收 缩 二次莫来石化 液相的量及其分布[18]。二次莫来石 化伴随着体积膨胀 而液相能够促进烧结致密化。在 1380~1520℃温度范围内 二次莫来石化对样品的体 积变化的影响起支配作用。第五阶段 $(1520\sim1600^{\circ})$ 。 由于液相量的增加和黏度的降低、莫来石化的完成, 样品又进入收缩致密化阶段 液相的影响起主要作用。 2.3 莫来石烧结体的性质

2.3.1 相对致密度

图 3 是不同烧结温度(1200~1600 °C ,保温 4h) 热处理的片状烧结体的相对致密度。如图所示, 1250~1350℃间,相对密度随温度的升高反而减少, 这是由于二次莫来石化所引起的体膨胀大于烧结所 容易烧结。199基平31:C1要来容的铝矾 L 和粉煤炭混 ic Pull 起的玻缩所致 A 这写上述的烧结收缩结果有少评的net 差别,热膨胀测试结果表明 1380~1520℃为样品的膨

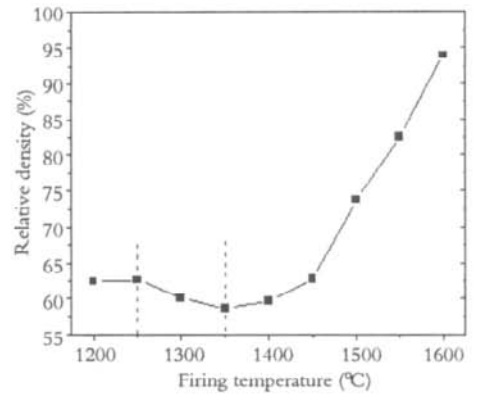
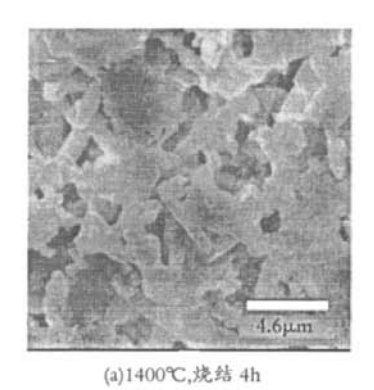


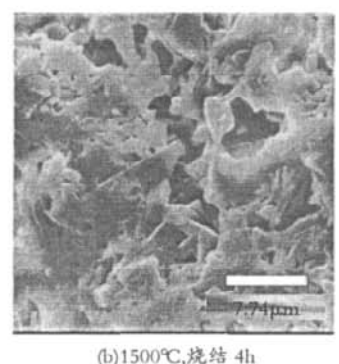
图 3 莫来石烧结体的相对致密度与烧结温度的关系 Fig.3 Relationship between relative density and sintering temperature of mullite sintered

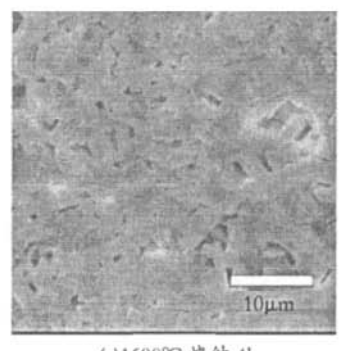
表 1 不同温度下所制备的莫来石陶瓷的平均抗弯强度和热 膨胀系数

Tab.1 Average bending strengths and thermal expansion coefficients of mullite ceramics prepared at different temperatures

性质	烧成温度(℃)		
	1400	1500	1600
抗弯强度 (MPa)	70.85	103.68	186.19
线性膨胀系数(×10-6℃-1)	4.94	5.10	5.40







(c)1600°C、烧结 4h

图 4 HF溶液腐蚀后样品的 SEM 照片

Fig.4 SEM images of the samples corroded in HF solution:

(a) sintered at 1400°C for 4h; (b) sintered at 1500°C for 4h; (c) sintered at 1600°C for 4h

胀区。在热膨胀测试过程中由于大的升温速率(10℃/min) 和无保温时间,样品的致密化过程存在着滞后效应。 而在程序控温的电炉中烧结时 低的升温速率和最高 温度有 4h 的保温时间 均能够增强样品的致密化水平。

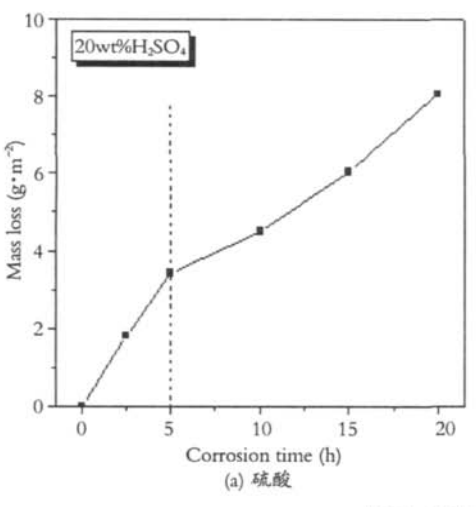
1350~1450℃的温度范围内 样品有低的致密化 速率,说明二次莫来石化的影响仍然存在。1450℃以 上 样品进入快速致密化阶段 其相对致密度随着烧 结温度的升高基本上是线性增加的。1600℃烧结 4h 后 莫来石烧结体的相对致密度达到 93.94%。

依据 Al₂O₃—SiO₂ 二元相图 , 当热处理温度高于 Al₂O₃/SiO₂ 二元相的共熔温度(1590± 10℃)时 ,能够 形成液相[19]。在我们的研究中,大量液相的出现在约 1450~1500℃之间。主要有两个原因 ;(a) 原材料中一 些过渡金属氧化物如TiQ2AEcaQn溶解到玻璃根中nic Pu响起主要作用。1500的到 16000Cd 除环孔隙率明显降net 导致更多液相的产生 ;(b) 共存的碱金属氧化物和碱

土金属氧化物(Na2O, K2O, MgO, CaO 等)作玻璃相的 修饰剂,由于能够形成弱的硅氧键,不仅降低液相的 高温黏度 而且能够改善烧结体高温浸润性能[20]。

2.3.2 机械及热膨胀性能

表 1 列出经过不同烧结温度处理后的莫来石烧 结体的平均抗弯强度和热膨胀系数。我们认为 定性 的来说,两种因素能够影响烧结体的抗弯强度:孔隙 率和莫来石晶体。根据陶瓷材料断裂强度与孔隙率的 关系 断裂强度与孔隙率呈指数反比关系[21]。1400℃ 到 1500℃, 孔隙率明显减少 从 40.38% 减少到 26.30%, 平均抗弯强度从 70.85MPa 增加到 103.68MPa 从图4 的 SEM 扫描电镜照片看出 莫来石晶体的数量和形 貌变化较小 因此 我们认为孔隙率对抗弯强度的影 低外(从26.30%减少到 6.06%,减少量为 20.24%) 莫 《陶瓷学报》2011 年第 2 期 253



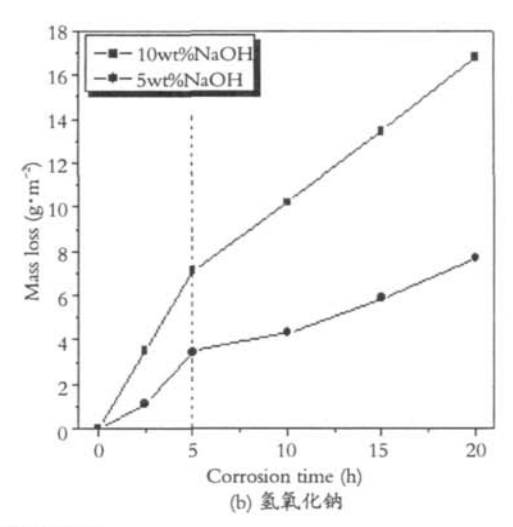
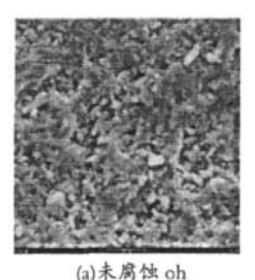
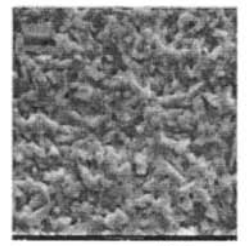


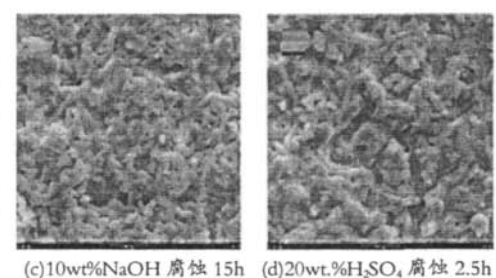
图 5 酸碱溶液腐蚀后样品的质量损失

Fig.5 Mass loss of the samples corroded in the acidic and alkaline solutions: (a) H₂SO₄; (b) NaOH





b)10wt%NaOH 腐蚀 2.5h



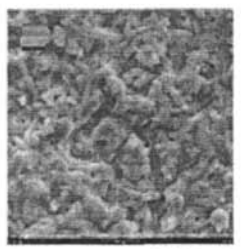




图 6 H₂SO₄和 NaOH 溶液不同腐蚀时间后样品的表面 SEM 照片

Fig.6 Surface SEM images of the samples corroded in the acidic and alkaline solutions for different times: (a) uncorroded (0h); (b) 10wt.% NaOH for 2.5 h; (c) 10wt.% NaOH for 15h; (d)20 wt.% H₂SO₄ for 2.5h

来石晶体数量明显增多 棒状晶体长大并相互紧密地 交错在一起 嵌入玻璃相中 致使平均抗弯强度显著 增大 1600℃烧结4h后 平均抗弯强度达到 186.19MPa。

从表 1 还可以看到 烧结温度对条状莫来石烧结体 在室温到 1000℃之间的平均热膨胀系数的影响不大, 1400℃、1500℃和 1600℃烧结体的平均线性热膨胀系数 分别为 4.9 4× 10⁻⁶℃⁻¹,5.1 0× 10⁻⁶℃⁻¹ 和 5.4 0× 10⁻⁶℃⁻¹。 2.3.3 莫来石陶瓷的耐酸碱腐蚀性能

取 1600 ℃烧结 4h 的莫来石样品进行腐蚀实验, 所选片状样品无裂纹和缺陷。图 5 为硫酸溶液 (20wt%)和氢氧化钠溶液(5wt%和 10wt%)腐蚀后样 品的单位面积的质量损失与煮沸时间的关系。

对于 20wt%硫酸溶液 ,按腐蚀时间 ,莫来石样品 的腐蚀过程可分为两个阶段(1)快速阶段(0~5h)样 品单位面积的质量损失量随腐蚀时间的延长而呈线 性、快速地增加。腐蚀 2.5h 质量损失为 1.79g·m⁻² 5h

后 其质量损失为 3.41g·m-2。这个阶段其腐蚀速率为 0.682g·m⁻²·h⁻¹。(2)低速阶段(5~20h) 样品单位面积 的质量损失量随腐蚀时间的延长而低速增加。腐蚀 10h、15h 和 20h ,质量损失分别为 4.49g·m⁻²、6.05g·m⁻² 和 8.05g·m⁻²。

对于浓度为 5wt%和 10wt%的氢氧化钠溶液 按 腐蚀时间 样品的腐蚀过程亦可分为两个阶段 :(1)快 速阶段(0~5h),样品单位面积的质量损失量随腐蚀 时间的延长而基本上呈线性地快速增加。在 5wt%和 10wt%氢氧化钠溶液中,这个阶段的腐蚀速率分别为 0.563g·m⁻²·h⁻¹和 1.424g·m⁻²·h⁻¹。(2)低速阶段(5~20h), 样品单位面积的质量损失量随腐蚀时间的延长而低 速增加。在 5wt%氢氧化钠溶液中 腐蚀 10h、15h 和 20h 后 样品的质量损失分别为 4.30g·m⁻²、5.85g·m⁻² 和 7.67g·m-2。在 10wt%氢氧化钠溶液中 腐蚀 10h、 15h 和 20h 后,样品的质量损失分别为 10.18g·m-2、

13.44g·m⁻²和 16.82g·m⁻²。

图 6 分别是 10wt%NaOH 碱溶液和 20wt%H₂SO₄ 酸溶液不同腐蚀时间后样品的表面 SEM 照片。与未 腐蚀的样品相比 2.5h 碱溶液腐蚀后,样品表面可以 看到有板条状的莫来石晶体裸露出来 部分玻璃相被 腐蚀掉 随着腐蚀时间的延长 样品表面呈现凹坑和 孔洞 这在 15h 腐蚀后的样品较为明显。对于硫酸溶 液的腐蚀 2.5h 后 样品表面有少量莫来石晶体露出, 随着腐蚀时间的延长,可以看到有更多清晰形貌的莫 来石晶体。对于相同的腐蚀时间 不同腐蚀的腐蚀介 质 10wt%NaOH 碱溶液所腐蚀的样品比 20wt%H₂SO₄ 酸溶液所腐蚀的样品有更清晰形貌的莫来石晶体露 出 这说明 我们所制备的莫来石样品在 20wt%H₂SO₄ 酸溶液中耐腐蚀性能要比 10wt%NaOH 碱溶液中的好。

综上所述 在强酸强碱热溶液中 致密莫来石样 品的腐蚀过程分为两个阶段,快速阶段和低速阶段, 这分别对应于样品的表面腐蚀和体腐蚀过程。在莫来 石制备过程中 高温莫来石化使得板条状二次莫来石 晶体在低黏度玻璃熔体中沉淀并析出 形成了柱状莫 来石晶体相互紧密交错地嵌入玻璃相中的微结构。在 酸和碱溶液的热腐蚀过程中 样品表面的玻璃相首先 受到侵蚀 其腐蚀面积与样品的表面积相同 由于玻 璃相含有一些金属氧化物杂质在腐蚀曲线上表现为 单位面积样品质量的快速下降,即为表面腐蚀过程; 随着表面玻璃相的腐蚀 莫来石晶体裸露出来 这时 , 样品的腐蚀由莫来石晶体的腐蚀和内部玻璃相的腐 蚀共同构成,由于莫来石晶体的较强的耐酸碱性 样 品的腐蚀速率在该阶段较低 即为体腐蚀过程。

3 结论

本工作中以天然非金属矿物铝矾土代替工业氧 化铝 同时加入工业废物粉煤灰 运用反应烧结工艺 合成了低成本的莫来石陶瓷材料。1000℃ 铝矾土的 水铝石相经过分解和相转变生成刚玉 刚玉与方石英 相在1200~1300℃间生成二次莫来石 温度高于 1300℃ 时 刚玉相熔于短暂玻璃相中 进一步发展了二次莫 来石化反应。莫来石样品反应烧结过程中 二次莫来 石化及莫来符晶体生长所导致的样品体膨胀大宁液ic PublishingsyllouseAsklyrishinersmeavandminatspsiem:www.cominet 相烧结所引起的收缩,导致样品在1380~1520℃出

现膨胀现象(热膨胀测试) 同样的现象也表现在烧结 体的体密度变化上。1600℃烧结样品的平均热膨胀 系数为 5.40× 10-6℃-1 平均抗弯强度 186.19MPa。 莫来石 烧结样品在强酸强碱热溶液中表现出较好的耐腐蚀 性能 其腐蚀过程可分为两个阶段 :快速阶段($0\sim5h$) 和低速阶段($5\sim20h$) 这分别对应于样品的表面腐蚀 和体腐蚀过程。

参考文献

- 1 ANANTHAKUMAR S, JAYASANKAR M, WARRIER K G K. Microstructural. mechanical and thermal characterisation of sol- gel- derived aluminum titanate- mullite ceramic composites. Acta Materialia, 2006, 54: 2965~2973
- 2 OKADA K, YASOHAMA S, HAYASHI S, et al. Sol-gel synthesis of mullite long fibers from water solvent systems. J. Eur. Ceram. Soc., 1998, 18(13): 1879~1884
- 3 JANACKOVICD, JOKANOVICV, KOSTIC-GVOZDENOVICL, et al. Synthesis of mullite nanostructured spherical powder by ultrasonic spray pyrolysis. Nanostruct. Mat., 1998, 10 (3): 341~348
- 4 KAYA C, HE J Y, GU X, et al. Nanostructured ceramic powders by hydrothermal synthesis and their applications. Micro. Meso. Mater., 2002, 54(1~2): 37~49
- 5 ZHOU M H, FERREIRA J M F, FONSECA A T, et al. Coprecipitation and processing of mullite precursor phases. J. Am. Ceram. Soc., 1996, 79(7): 1756~1760
- 6 Chen C Y, Lan G S, Tuan W H. Preparation of mullite by the reaction sintering of kaolinite and alumina. Journal of the European Ceramic Society, 2000, 20: 2519~2525
- 7 KIM Y W, KIM H D, PARK C. Processing of microcellular mullite. Journal of the American Ceramic Society, 2005, 88 (12): 3311~3315
- 8 TRIPATHI H S, BANERJEE G. Effect of chemical composition on sintering and properties of Al₂O₃- SiO₂ system derived from sillimanite beach sand. Ceramics International, 1999, 25: 19~25
- 9 BOUCHETOU M L, ILDEFONSE J P, POIRIER J, et al. Mullite grown from fired andalusite grains: the role of impurities and of the high temperature liquid phase on the kinetics of mullitization and consequences on thermal shocks resistance. Ceramics International, 2005, 31: 999~1005

metastable equilibria at 1.0 atmosphere. Science, 1974, 183:

《陶瓷学报》2011 年第 2 期 255

69~71

- 11 MIAO X. Porous mullite ceramics from natural topaz. Materials Letters, 1999, 38: 167~172
- 12 HE Y, CHENG W, CAI H. Characterization of α cordierite glass- ceramics from fly ash. Journal of Hazardous Materials B, 2005, 120: 265~269
- 13 KUMAR S, SINGH K K, RAMACHANDRARAO P. Synthesis of cordierite from fly ash and its refractory properties. Journal of Materials Science, 2000,19:1263~1265
- 14 RINCAN J M A, ROMERO M, BOCCACCINI A R. Microstructural characterisation of a glass and a glass-ceramic obtained from municipal incinerator fly ash. Journal of Materials Science, 1999, 34: 4413~4423
- 15 PENG F, LIANG K, HU A. Nano-crystal glass-ceramics obtained from high alumina coal fly ash. Fuel, 2005, 84(4): 341~346
- 16 HUANG X, HWANG J Y, MUTSUDDY B C. Properties of

- mullite synthesized from fly ash and alumina mixture. Ceram. Int., 1995, 44(2): 65
- 17 JUNG J S, PARK H C, STEVENS R. Mullite ceramics derived from coal fly ash. Journal of Materials Science Letters, 2001, 20: 1089~1091
- 18 ZHONG X, LI G. Sintering characteristics of Chinese bauxites. Ceramics International, 1981, 7: 65~68
- 19 PASK J A. Importance of starting materials on reactions and phase equilibria in the a- Al₂O₃- SiO₂ system. J. Eur. Ceram. Soc., 1996, 16: 101~108
- 20 BAUDIN C, VILLAR M P. Influence of thermal aging on microstructural development of mullite containing alkalis. J. Am. Ceram. Soc., 1998, 81(10): 2741~2745
- 21 RYSHKEWITCH E. Compression strength of porous sintered alumina and zirconia. J. Am. Ceramic Soc., 1953, 36 (2): 65~68

Synthesis and Performance Investigation of Mullite Materials by Recycling Waste Fly Ash

TAN Li DONG Yingchao SUN Li
(Jingdezhen Ceramic Institute, Jingdezhen Jiangxi 333001, China)

Abstract

Low-cost mullite ceramics were synthesized by reaction-sintering with natural bauxite and industrial waste fly ash as starting materials. The results indicate that secondary mullite was produced at $1200 \sim 1300^{\circ}$ C by the solid state reaction of cristobalite and corundum, followed by the dissolution of corundum into transitory glassy phase at higher temperatures ($\geq 1300^{\circ}$ C). The formation of secondary mullite and its growth resulted in a volume expansion, which was higher than the shrinkage induced by liquid-phase sintering. The samples sintered at 1600° C had average thermal expansion coefficient of 5.40×10^{-6} °C⁻¹ and average bending strength of 186.19 MPa. The sintered mullite exhibited two corrosion stages in hot strong acidic and alkaline solutions: fast stage (0~5h) and low-rate stage (5~20h), which respectively corresponded to the surface corrosion and bulk corrosion processes of the samples.

Key words fly ash; bauxite; mullite; sintering; corrosion